

for thickness  $d = 1 \text{ mm}$

Wave-length [nm]	Limits	Value from catalog curve
350	$\geq 0.60$	0.75
405	$\geq 0.85$	0.96
514	$\geq 0.93$	0.98
633	$\leq 0.30$	0.27
694	$\leq 0.03$	0.02
1060	$\leq 1 \cdot 10^{-3}$	$2 \cdot 10^{-4}$

**Refractive index n**

$\lambda$ [nm]	Element	n
404.7	Hg	1.57
587.6	He	1.55

**Tristimulus values**

	d [mm]	x	y	Y [%]	$\lambda_d$ [nm]	$P_e$
A 2856 [K]	1.0	0.364	0.431	66	500	0.19
	2.0	0.311	0.438	54	499	0.31
	3.0	0.275	0.438	46	498	0.40
	5.0	0.229	0.430	36	496	0.51
3200 [K]	1.0	0.342	0.415	68	498	0.20
	2.0	0.293	0.418	56	497	0.32
	3.0	0.260	0.415	48	496	0.41
D <sub>65</sub>	1.0	0.255	0.321	73	490	0.22
	2.0	0.223	0.312	63	489	0.34
	3.0	0.204	0.302	56	489	0.42
	5.0	0.180	0.286	47	488	0.52

**Application notes**

Bandpass filters  
see section 4.6

Shortpass filters  
see section 4.5

Longpass filters  
see section 4.4

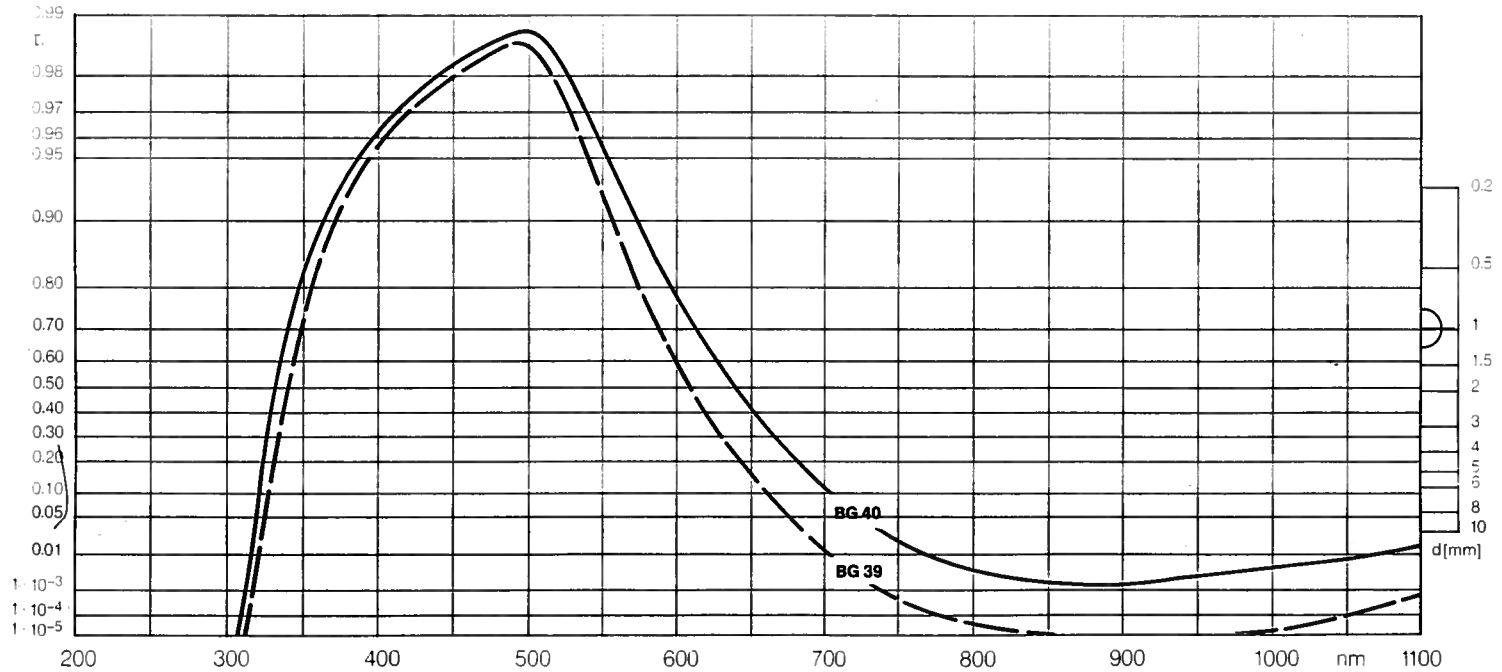
[!]  
Long-term changes in the polished surface are possible under some circumstances, see section 3.5

$\lambda$ [nm]	$\tau$	$\tau_i$
200	$< 1 \cdot 10^{-5}$	$< 1 \cdot 10^{-5}$
210	$< 1 \cdot 10^{-5}$	$< 1 \cdot 10^{-5}$
220	$< 1 \cdot 10^{-5}$	$< 1 \cdot 10^{-5}$
230	$< 1 \cdot 10^{-5}$	$< 1 \cdot 10^{-5}$
240	$< 1 \cdot 10^{-5}$	$< 1 \cdot 10^{-5}$
250	$< 1 \cdot 10^{-5}$	$< 1 \cdot 10^{-5}$
260	$< 1 \cdot 10^{-5}$	$< 1 \cdot 10^{-5}$
270	$< 1 \cdot 10^{-5}$	$< 1 \cdot 10^{-5}$
280	$< 1 \cdot 10^{-5}$	$< 1 \cdot 10^{-5}$
290	$< 1 \cdot 10^{-5}$	$< 1 \cdot 10^{-5}$
300	$< 1 \cdot 10^{-5}$	$< 1 \cdot 10^{-5}$
310	$< 1 \cdot 10^{-5}$	$< 1 \cdot 10^{-5}$
320	0.02	0.02
330	0.22	0.24
340	0.50	0.55
350	0.68	0.75
360	0.78	0.86
370	0.83	0.91
380	0.86	0.94
390	0.86	0.95
400	0.87	0.96
410	0.88	0.97
420	0.88	0.97
430	0.88	0.97
440	0.89	0.98
450	0.89	0.98
460	0.89	0.98
470	0.89	0.98
480	0.89	0.98
490	0.90	0.99
500	0.90	0.99
510	0.89	0.98
520	0.89	0.98
530	0.87	0.96
540	0.86	0.95
550	0.84	0.92
560	0.80	0.88
570	0.75	0.82
580	0.68	0.75
590	0.61	0.67
600	0.53	0.58
610	0.44	0.48
620	0.35	0.38
630	0.26	0.29
640	0.19	0.21
650	0.14	0.15
660	0.09	0.10
670	0.05	0.06
680	0.04	0.04
690	0.02	0.02

$\lambda$ [nm]	$\tau$	$\tau_i$
700	$9 \cdot 10^{-3}$	0.01
710	$6 \cdot 10^{-3}$	$7 \cdot 10^{-3}$
720	$4 \cdot 10^{-3}$	$4 \cdot 10^{-3}$
730	$2 \cdot 10^{-3}$	$2 \cdot 10^{-3}$
740	$9 \cdot 10^{-4}$	$1 \cdot 10^{-3}$
750	$5 \cdot 10^{-4}$	$5 \cdot 10^{-4}$
760	$3 \cdot 10^{-4}$	$3 \cdot 10^{-4}$
770	$2 \cdot 10^{-4}$	$2 \cdot 10^{-4}$
780	$9 \cdot 10^{-5}$	$1 \cdot 10^{-4}$
790	$5 \cdot 10^{-5}$	$6 \cdot 10^{-5}$
800	$3 \cdot 10^{-5}$	$3 \cdot 10^{-5}$
850	$1 \cdot 10^{-5}$	$1 \cdot 10^{-5}$
900	$< 1 \cdot 10^{-5}$	$< 1 \cdot 10^{-5}$
950	$< 1 \cdot 10^{-5}$	$< 1 \cdot 10^{-5}$
1000	$1 \cdot 10^{-5}$	$1 \cdot 10^{-5}$
1060	$2 \cdot 10^{-4}$	$2 \cdot 10^{-4}$
1100	$5 \cdot 10^{-4}$	$5 \cdot 10^{-4}$
1200	$5 \cdot 10^{-3}$	$5 \cdot 10^{-3}$
1300	0.03	0.03
1400	0.08	0.09
1500	0.19	0.21
1600	0.34	0.37
1700	0.47	0.52
1800	0.58	0.64
1900	0.66	0.72
2000	0.70	0.77
2100	0.74	0.81
2200	0.74	0.81
2300	0.73	0.80
2400	0.72	0.79
2500	0.69	0.76
2600	0.63	0.69
2700	0.58	0.64
2800	0.29	0.32
2900	0.05	0.05
3000	$< 0.01$	$< 0.01$
3200	$< 0.01$	$< 0.01$
3400	$< 0.01$	$< 0.01$
3600	$< 0.01$	$< 0.01$
3800	$< 0.01$	$< 0.01$
4000	$< 0.01$	$< 0.01$
4200	$< 0.01$	$< 0.01$
4400	$< 0.01$	$< 0.01$
4600	$< 0.01$	$< 0.01$
4800	$< 0.01$	$< 0.01$
5000	$< 0.01$	$< 0.01$
5200	$< 0.01$	$< 0.01$

SCHOTT - Filter glass

57



SCHOTT - Filter glass

123